



# 模式识别与深度学习 (33-34)

## 深度序列建模-2

左旺孟

综合楼309

机器学习研究中心

哈尔滨工业大学计算机学院

[cswmzuo@gmail.com](mailto:cswmzuo@gmail.com)

13134506692

# 循环神经网络

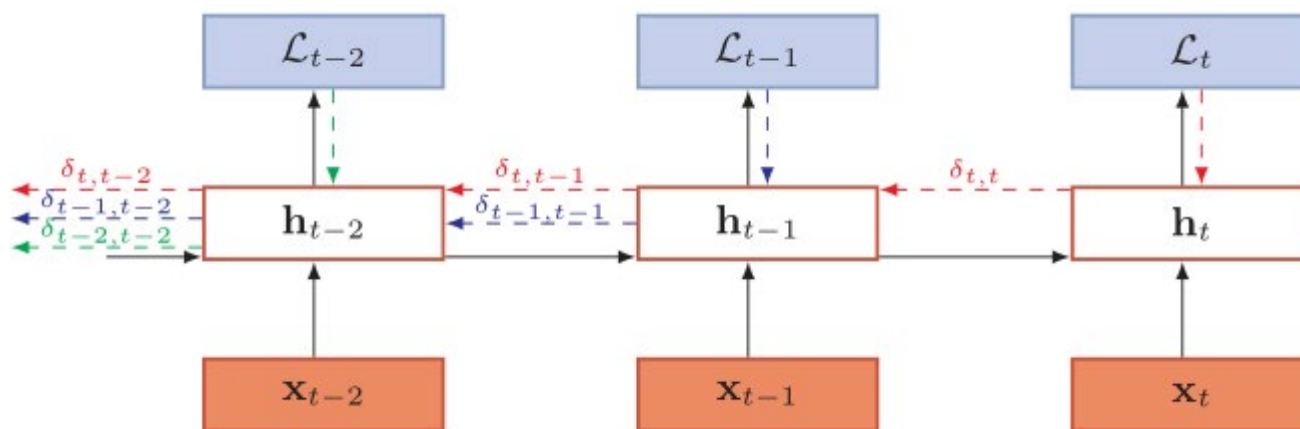
- 循环神经网络（Recurrent NN）
- 双向RNN
- 序列到序列模型
- 长短期记忆（LSTM）、GRU

# 长短期记忆

- 长期依赖
- 启发式解决方案
- GRU
- LSTM

# BPTT

$$\mathbf{h}_{t+1} = f(\mathbf{z}_{t+1}) = f(U\mathbf{h}_t + W\mathbf{x}_{t+1} + \mathbf{b})$$

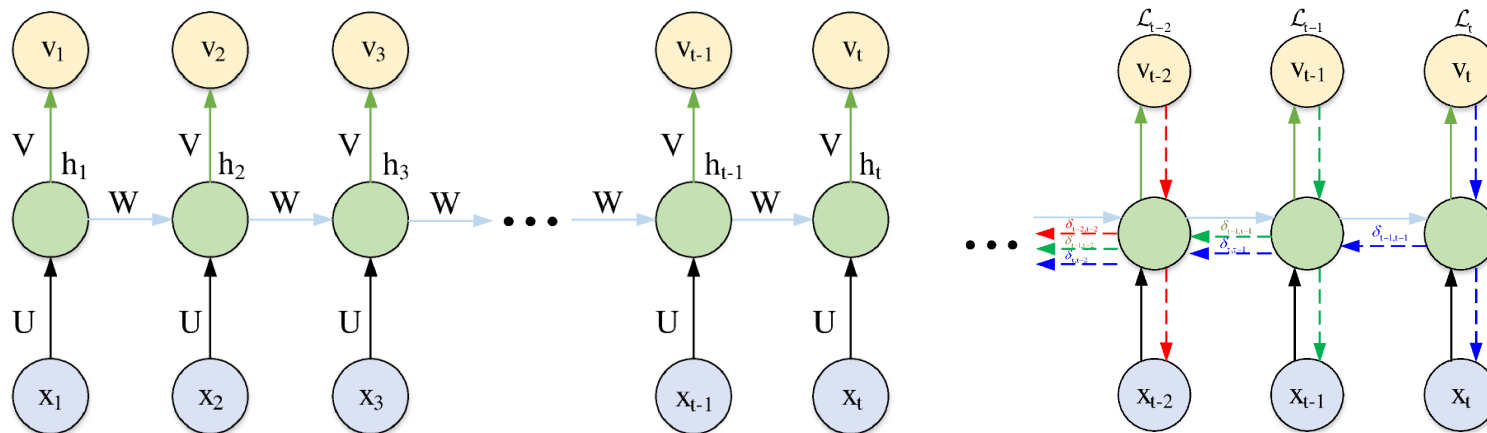


$$\frac{\partial \mathcal{L}}{\partial U} = \sum_{t=1}^T \sum_{k=1}^t \delta_{t,k} \mathbf{h}_{k-1}^T$$

$$\delta_{t,k} = \prod_{\tau=k}^{t-1} \left( \text{diag}(f'(\mathbf{z}_{\tau})) U^T \right) \delta_{t,t}$$

$\delta_{t,k}$  为第  $t$  时刻的损失对第  $k$  步隐藏神经元的净输出  $\mathbf{z}_k$  的导数

# 长期依赖 (Long-Term Denpendency)



前向

梯度

## • 梯度计算

$$\begin{aligned} \nabla_{h^{(t)}} L &= \left( \frac{\partial h^{(t+1)}}{\partial h^{(t)}} \right)^\top (\nabla_{h^{(t+1)}} L) + \left( \frac{\partial o^{(t)}}{\partial h^{(t)}} \right)^\top (\nabla_{o^{(t)}} L) & \nabla_W L &= \sum_t \sum_i \left( \frac{\partial L}{\partial h_i^{(t)}} \right) \nabla_{W^{(t)}} h_i^{(t)} \\ &= W^\top (\nabla_{h^{(t+1)}} L) \text{diag}(1 - (h^{(t+1)})^2) + V^\top (\nabla_{o^{(t)}} L), & &= \sum_t \text{diag}(1 - (h^{(t)})^2) (\nabla_{h^{(t)}} L) h^{(t-1)\top} \end{aligned}$$

$$\frac{\partial \mathcal{L}}{\partial W} = \sum_{t=1}^T \sum_{k=1}^t \left( \prod_{i=k}^{t-1} \text{Diag}(f'(\mathbf{z}_i)) W^T \right) \delta_{t,t} \mathbf{h}_{k-1}^T$$

# 长期依赖 (Long-Term Denpendency)

- 假设  $\gamma \approx \|\text{Diag}(f'(\mathbf{z}_i)) W^T\|$

$$\frac{\partial \mathcal{L}}{\partial W} = \sum_{t=1}^T \sum_{k=1}^t \gamma^{t-k} \delta_{t,t} \mathbf{h}_{k-1}^T$$

- 当  $\gamma > 1$ ,  $t - k \rightarrow \infty$  时,  $\gamma^{t-k} \rightarrow \infty$ , 此时会产生梯度爆炸
- 当  $\gamma < 1$ ,  $t - k \rightarrow \infty$  时,  $\gamma^{t-k} \rightarrow 0$ , 从而出现和前馈神经网络类似的梯度消失问题
- 当  $t - k$  较大时, 时刻  $t$  损失函数  $\mathcal{L}_t$  产生的梯度无法对  $t - k$  时刻之前的参数  $W$  产生影响
- 长期依赖: 当间隔  $k$  较大时, 网络无法对长时间间隔的数据依赖关系进行建模

# 长短期记忆

- 长期依赖
- 启发式解决方案
- GRU
- LSTM

# 缓解梯度爆炸

- 截断梯度（Gradient clipping）
  - 是当参数的梯度大于一定阈值时，就将其截断为一个较小的数值
  - 方式1：在参数更新之前，逐元素地截断Mini-batch产生的参数梯度
  - 方式2：在参数更新之前，整体约束参数梯度大小（不改变梯度方向）

$$\mathbf{g} = \begin{cases} \frac{\mathbf{g}v}{\|\mathbf{g}\|}, & \text{if } \|\mathbf{g}\| > v \\ \mathbf{g}, & \text{else} \end{cases}$$

- 实际应用中，两种方式性能表现类似



# 缓解梯度消失

- 时间维度的跳跃连接

- 直接构造从 $t$ 时刻单元到 $t + d$ 时刻单元的连接

- 渗漏单元

- 令  $W = I$ ,  $f'(\mathbf{z}_i) = \mathbf{1}$

$$\mathbf{h}_t = \mathbf{h}_{t-1} + \mathbf{g}(\mathbf{x}_t, \phi)$$

- 丢失了神经元上存在的非线性激活性质，降低了网络的拟合能力

# 缓解梯度消失：渗漏单元

- 记忆容量（Memory Capacity）问题
  - 随着 $\mathbf{h}_t$ 不断累积存储过去的输出状态，会发生“饱和”现象
- 渗漏单元（Leaky Unit）

$$\mathbf{h}_t = \mu \mathbf{h}_{t-1} + (1 - \mu) \mathbf{g}(\mathbf{x}_t, \mathbf{h}_{t-1}, \phi)$$

- 当 $\mu$ 接近于1时，神经网络能够记住过去很长一段时间的信息；
- 当 $\mu$ 接近于0时，关于过去的信息会被快速丢弃
- 超参数 $\mu$ ：可以预设，也通过数据驱动的方式学习

# 长短期记忆

- 长期依赖
- 启发式解决方案

- GRU

K. Cho, B. Van Merriënboer, C. Gulcehre, D. Bahdanau, F. Bougares, H. Schwenk, and Y. Bengio, “Learning phrase representations using RNN encoder-decoder for statistical machine translation,” *arXiv preprint arXiv:1406.1078*, 2014.

- LSTM

# 门控循环单元 (GRU)

- 引入门控机制：由神经网络学会决定何时清除状态

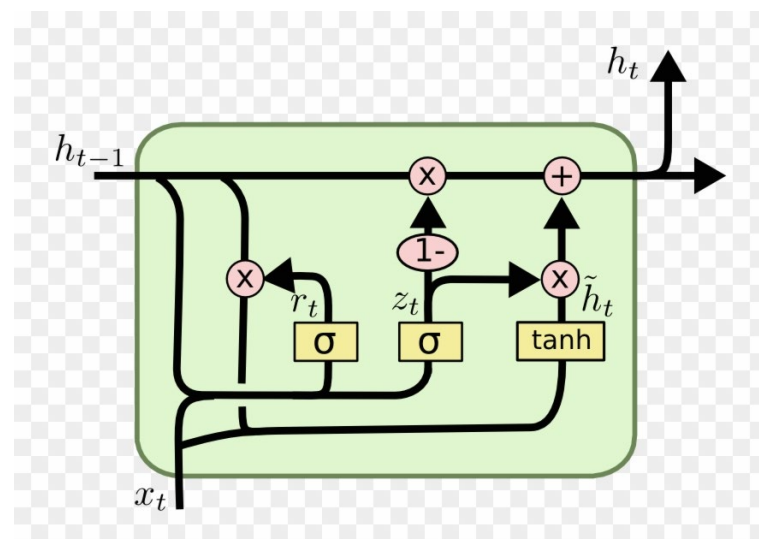
$$\mathbf{h}_t = \mathbf{z}_t \odot \mathbf{h}_{t-1} + (1 - \mathbf{z}_t) \odot \tilde{\mathbf{h}}_t,$$

$$\tilde{\mathbf{h}}_t = \tanh(W_h \mathbf{x}_t + U_h (\mathbf{r}_t \odot \mathbf{h}_{t-1}) + b_h),$$

$$\mathbf{z}_t = \delta(W_z \mathbf{x}_t + U_z \mathbf{h}_{t-1} + b_z),$$

$$\mathbf{r}_t = \delta(W_r \mathbf{x}_t + U_r \mathbf{h}_{t-1} + b_r),$$

- $\mathbf{z}_t$ : 更新门 (Update Gate)
- $\mathbf{r}_t$ : 重置门 (Reset Gate)



## 解释

- 当 $\mathbf{z}_t = 0$  时，当前状态 $\mathbf{h}_t$  和历史状态 $\mathbf{h}_{t-1}$  只存在非线性关系
- 当 $\mathbf{z}_t = 0$ ,  $\mathbf{r}_t = 1$ , GRU 网络则退化为简单循环神经网络
- 当 $\mathbf{z}_t = 0$ ,  $\mathbf{r}_t = 0$ , GRU 网络退化为传统的前馈神经网络
- 当 $\mathbf{z}_t = 1$  时，当前时刻的隐藏层输出 $\mathbf{h}_{t+1}$  等于上一时刻的隐藏层输出 $\mathbf{h}_t$ ，而与当前输入 $\mathbf{x}_t$  无关

# GRU与优化算法的联系

$$\min_{\mathbf{s}} \sum_i \|\mathbf{x}_i - \mathbf{B}\mathbf{s}_i\|_F^2 + \lambda \|\mathbf{s}_i\|_1$$

- 投影梯度下降

$$\begin{aligned} \mathbf{s}^{(t)} &= sh_{(\lambda\tau)} \left( \mathbf{s}^{(t-1)} - \tau \left( \mathbf{B}^T \left( \mathbf{B}\mathbf{s}^{(t-1)} - \mathbf{X} \right) \right) \right) \\ &= sh_{(\lambda\tau)} \left( \mathbf{W}_e \mathbf{s}^{(t-1)} + \mathbf{W}_d \mathbf{X} \right), \end{aligned}$$

- Nesterov加速梯度

$$\mathbf{x}_k = \mathbf{y}_{k-1} - \varepsilon \nabla F(\mathbf{y}_{k-1}) \quad (\varepsilon \leq 1/L_F)$$

$$t_{k+1} \leftarrow (1 + \sqrt{1 + 4t_k^2})/2,$$

$$\mathbf{y}_{k+1} \leftarrow \mathbf{x}_k + (t_k - 1)/t_{k+1} (\mathbf{x}_k - \mathbf{x}_{k-1})$$

# GRU与优化算法的联系

- 问题

$$\min_{\mathbf{s}} \sum_i \|\mathbf{x}_i - \mathbf{B}\mathbf{s}_i\|_F^2 + \lambda \|\mathbf{s}_i\|_1$$

- 改进Nesterov加速

$$\tilde{\mathbf{c}}^{(t)} = \mathbf{W}_e \mathbf{s}^{(t-1)} + \mathbf{W}_d \mathbf{x},$$

$$\mathbf{c}^{(t)} = \mathbf{f}^{(t)} \odot \mathbf{c}^{(t-1)} + \mathbf{i}^{(t)} \odot \tilde{\mathbf{c}}^{(t)}$$

$$\mathbf{s}^{(t)} = sh_{(\lambda\tau)}(\mathbf{c}^{(t)}),$$

$$\mathbf{h}_t = \mathbf{z}_t \odot \mathbf{h}_{t-1} + (1 - \mathbf{z}_t) \odot \tilde{\mathbf{h}}_t,$$

$$\tilde{\mathbf{h}}_t = \tanh(W_h \mathbf{x}_t + U_h (\mathbf{r}_t \odot \mathbf{h}_{t-1}) + b_h),$$

- 对比GRU

$$\mathbf{i}^{(t)} = \sigma(\mathbf{W}_{is} \mathbf{s}^{(t-1)} + \mathbf{W}_{ix} \mathbf{x}),$$

$$\mathbf{f}^{(t)} = \sigma(\mathbf{W}_{fs} \mathbf{s}^{(t-1)} + \mathbf{W}_{fx} \mathbf{x}),$$

$$\tilde{\mathbf{c}}^{(t)} = \mathbf{W}_e \mathbf{s}^{(t-1)} + \mathbf{W}_d \mathbf{x},$$

$$\mathbf{c}^{(t)} = \mathbf{f}^{(t)} \odot \mathbf{c}^{(t-1)} + \mathbf{i}^{(t)} \odot \tilde{\mathbf{c}}^{(t)}$$

$$\mathbf{s}^{(t)} = h_{(\mathbf{D}, \mathbf{u})}(\mathbf{c}^{(t)}),$$

$$\mathbf{z}_t = \delta(W_z \mathbf{x}_t + U_z \mathbf{h}_{t-1} + b_z),$$

$$\mathbf{r}_t = \delta(W_r \mathbf{x}_t + U_r \mathbf{h}_{t-1} + b_r),$$

$$\tilde{\mathbf{h}}_t = \tanh(W_h \mathbf{x}_t + U_h (\mathbf{r}_t \odot \mathbf{h}_{t-1}) + b_h),$$

$$\mathbf{h}_t = \mathbf{z}_t \odot \mathbf{h}_{t-1} + (1 - \mathbf{z}_t) \odot \tilde{\mathbf{h}}_t,$$

Joey Tianyi Zhou et al., SC2Net: Sparse LSTMs for Sparse Coding, AAAI 2018.

# 长短期记忆

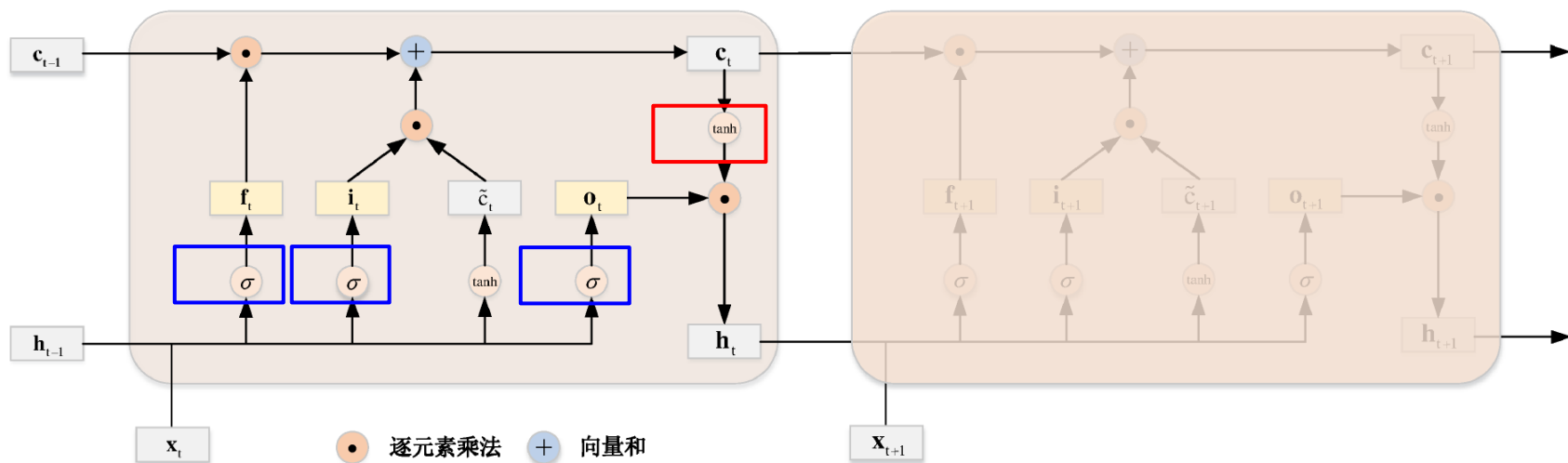
- 长期依赖
- 启发式解决方案
- GRU
- LSTM

S. Hochreiter and J. Schmidhuber, “Long short-term memory,”  
*Neural computation*, vol. 9, no. 8, pp. 1735–1780, 1997



# 长短期记忆 (long short-term memory)

- 新的记忆单元  $\mathbf{c}_t$ ，用于控制信息的线性传递
  - 候选内部状态  $\tilde{\mathbf{c}}_t$
- 三个门组件
  - 输入门 (Input Gate)  $\mathbf{i}_t$ ,
  - 遗忘门 (Forget Gate)  $\mathbf{f}_t$
  - 输出门 (Output Gate)  $\mathbf{o}_t$



# 长短期记忆 (LSTM)

- 计算过程

- 更新门组件

$$\mathbf{i}_t = \delta (W_i \mathbf{x}_t + U_i \mathbf{h}_{t-1} + b_i),$$

$$\mathbf{f}_t = \delta (W_f \mathbf{x}_t + U_f \mathbf{h}_{t-1} + b_f),$$

$$\mathbf{o}_t = \delta (W_o \mathbf{x}_t + U_o \mathbf{h}_{t-1} + b_o).$$

- 候选内部状态更新

$$\tilde{\mathbf{c}}_t = \mathbf{tanh} (W_c \mathbf{x}_t + U_c \mathbf{h}_{t-1} + b_c)$$

- 记忆单元和隐藏单元更新

$$\mathbf{c}_t = \mathbf{f}_t \odot \mathbf{c}_{t-1} + \mathbf{i}_t \odot \tilde{\mathbf{c}}_t,$$

$$\mathbf{h}_t = \mathbf{o}_t \odot \mathbf{tanh} (\mathbf{c}_t),$$

## 长短期记忆 (LSTM)

- 通过前一时刻的输出状态 $\mathbf{h}_{t-1}$  和当前时刻输入 $\mathbf{x}_t$  计算当前时刻三个门的输出 $\mathbf{f}_t$ ,  $\mathbf{i}_t$  和 $\mathbf{o}_t$ ;
- 计算当前时刻候选内部状态 $\tilde{\mathbf{c}}_t$ , 同时结合上一时刻的记忆单元输出 $\mathbf{c}_{t-1}$ 和 $\mathbf{f}_t$ , 计算当前时刻的记忆单元输出 $\mathbf{c}_t$ 。
- 结合输出门 $\mathbf{o}_t$ , 计算当前时刻隐藏单元的最终输出 $\mathbf{h}_t$ 。

## 门机制解释

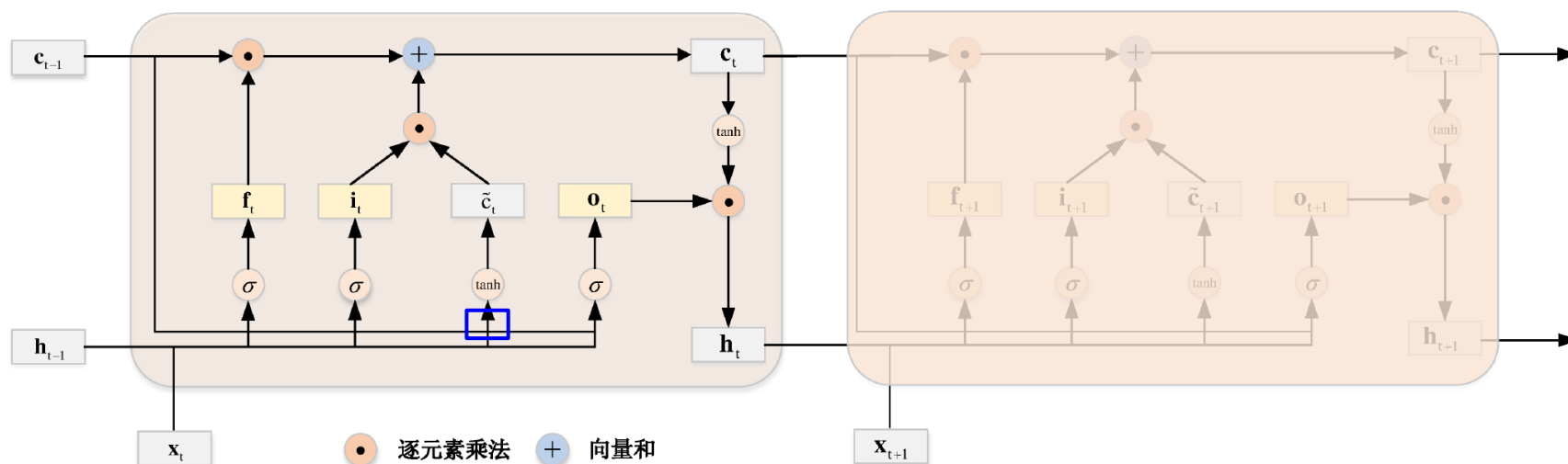
- 当 $\mathbf{f}_t = 0$ ,  $\mathbf{i}_t = 1$  时, 记忆单元将历史信息清空, 并将候选内部状态  $\tilde{\mathbf{c}}_t$  写入;
- 当 $\mathbf{f}_t = 1$ ,  $\mathbf{i}_t = 0$  时, 记忆单元将复制上一时刻的内容, 不写入新的信息。
- 外部的RNN 循环+内部的LSTM 细胞循环 (自环)

# 变体1：带有peephole 连接的LSTM

$$\mathbf{i}_t = \delta (W_i \mathbf{x}_t + U_i \mathbf{h}_{t-1} + V_i \mathbf{c}_{t-1} + b_i),$$

$$\mathbf{f}_t = \delta (W_f \mathbf{x}_t + U_f \mathbf{h}_{t-1} + V_f \mathbf{c}_{t-1} + b_f),$$

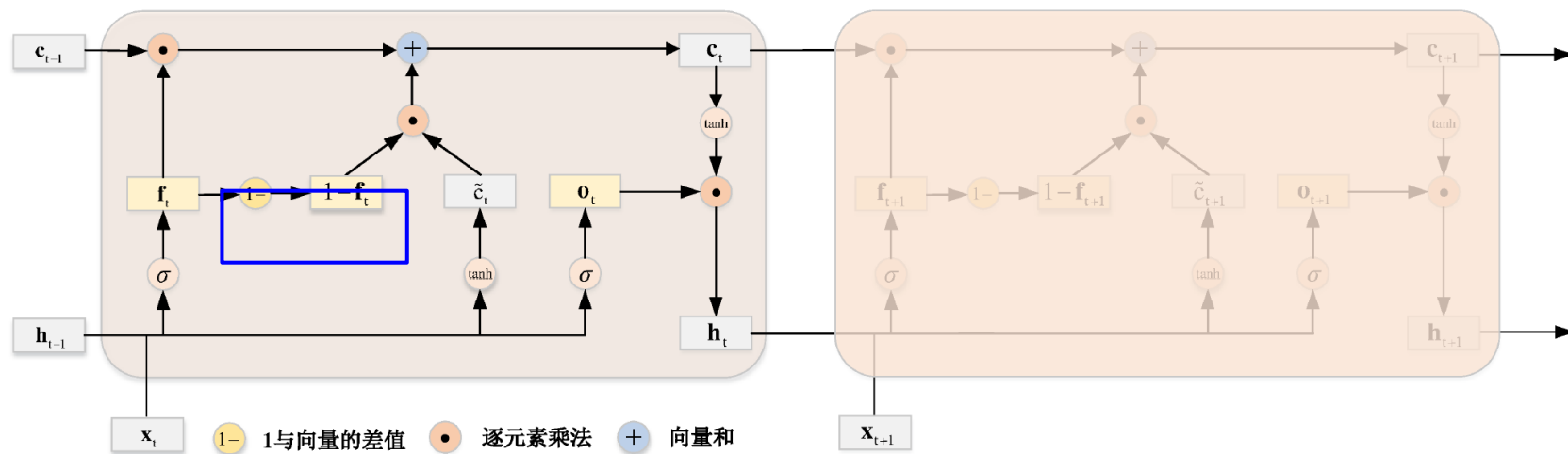
$$\mathbf{o}_t = \delta (W_o \mathbf{x}_t + U_o \mathbf{h}_{t-1} + V_o \mathbf{c}_{t-1} + b_o).$$



# 变体2：耦合输入门和遗忘门的LSTM

$$\mathbf{i}_t = 1 - \mathbf{f}_t$$

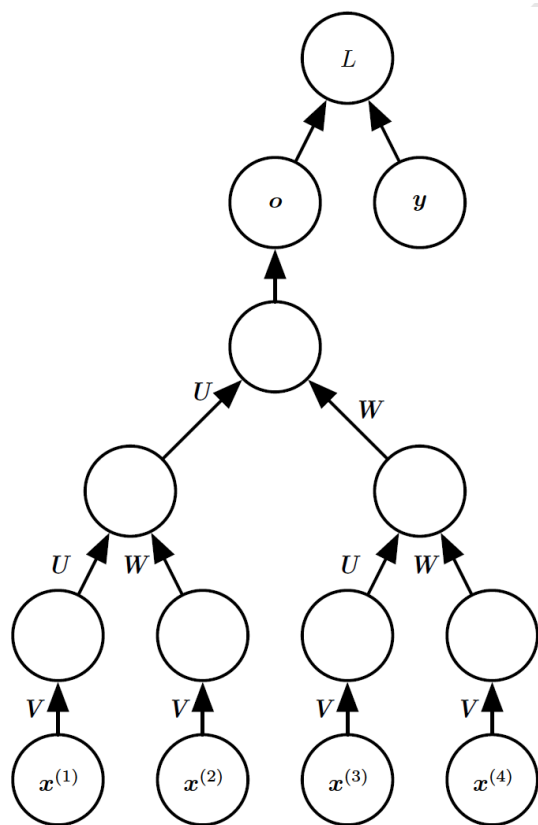
$$\mathbf{c}_t = \mathbf{f}_t \odot \mathbf{c}_{t-1} + (1 - \mathbf{f}_t) \odot \tilde{\mathbf{c}}_t$$



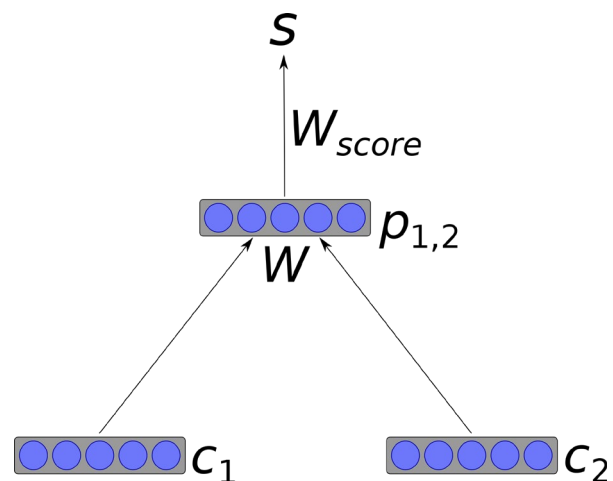
# 序列建模

- 循环神经网络
- 递归神经网络
- 记忆网络
- 图神经网络

# 递归神经网络



递归网络将循环网络的链状  
计算图推广到树状计算图



递归网络基本单元

$$p_{1,2} = \tanh(W[c_1; c_2])$$

给定树结构，网络深度可从  
 $O(T)$ 降至 $O(\log T)$



# 递归神经网络

- 如何以最佳的方式构造树
  - 使用不依赖于数据的树结构
  - 借鉴外部方法选择适当的树结构（语法树）
  - 自行发现和推断适合于任意给定输入的树结构（层次聚类）

# 序列建模

- 循环神经网络
- 递归神经网络
- 记忆网络
- 图神经网络

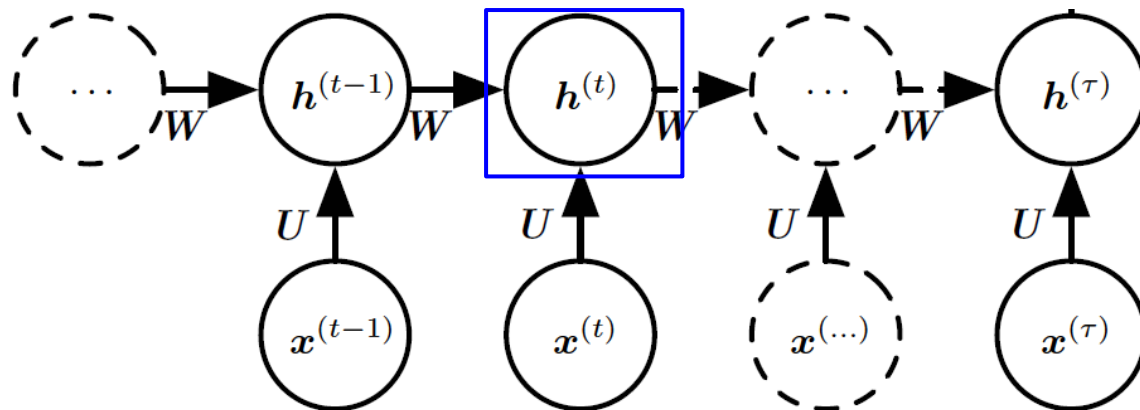
# 知识的种类与表达

- 隐性知识：隐含的、潜意识的并且难以用语言表达
  - 如：怎么行走或狗与猫的样子有什么不同
- 明确的、可陈述的以及可以相对简单地使用词语表达
  - 常识性的知识：猫是一种动物
  - 具体的事实：与销售团队会议在141室于下午3:00 开始

词语、概念和概念间的关系

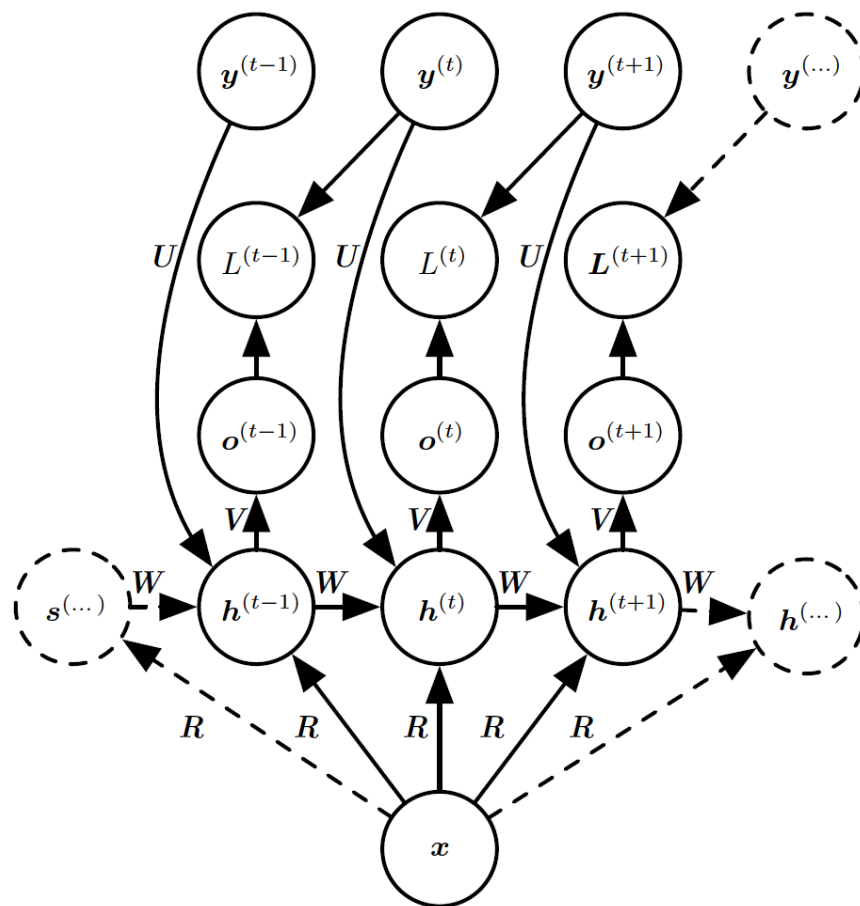
# 记忆网络

- 神经网络擅长存储隐性知识，但很难记住事实
  - 缺乏工作存储系统：外显记忆组件
- 如果在神经网络中引入外部知识？



# Revisit: 基于上下文的RNN 序列建模

- 只使用单个向量 $\mathbf{x}$  作为输入



# 记忆网络

- 记忆网络：引入记忆单元

- 需要监督信号指示他们如何使用自己的记忆单元

Weston, J., Chopra, S., and Bordes, A. (2014). Memory networks. *arXiv preprint arXiv:1410.3916* .

- 神经网络图灵机：不需要明确的监督指示而能学习从记忆单元读写任意内容

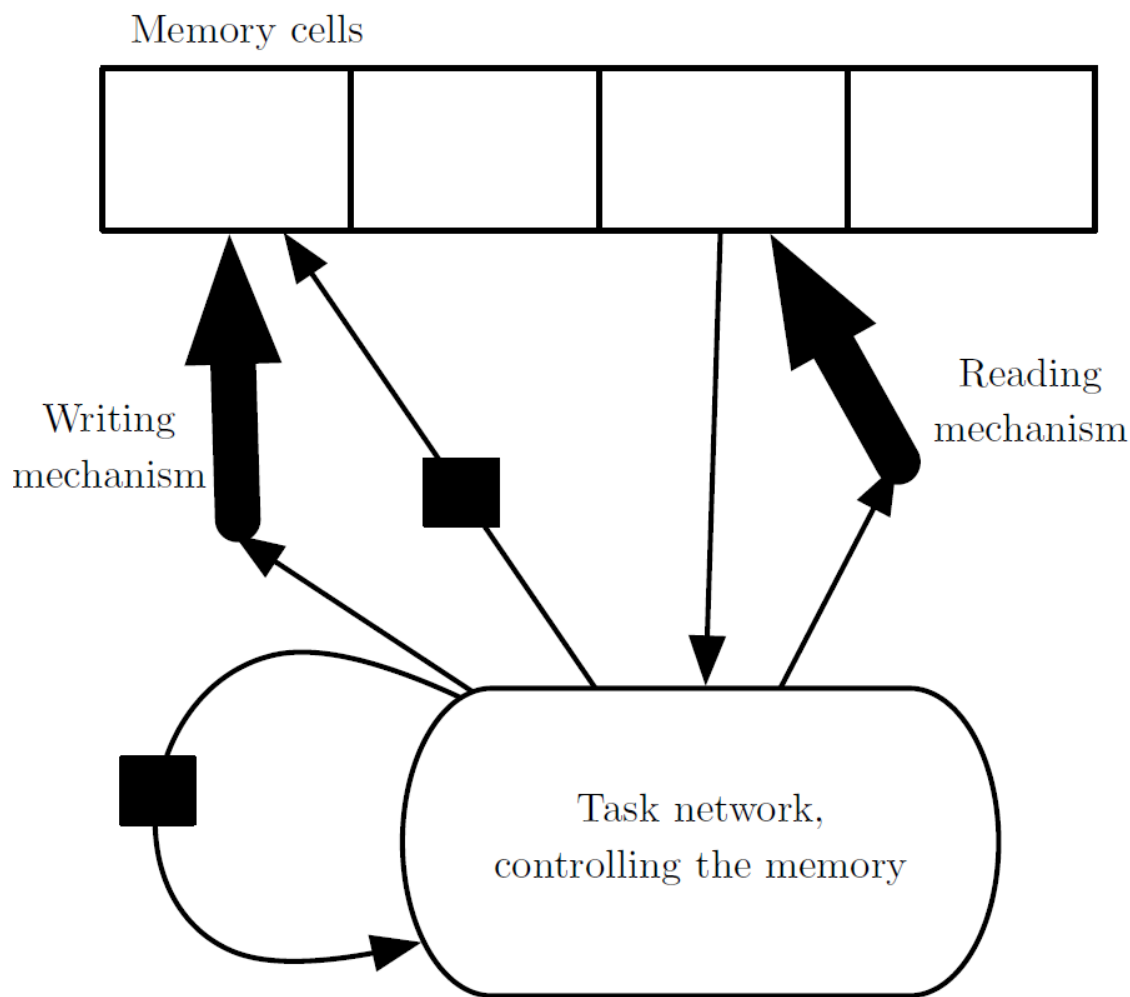
Graves, A., Wayne, G., and Danihelka, I. (2014). Neural Turing machines. *arXiv:1410.5401*.

- 基于内容的软注意机制：端到端训练

Bahdanau, D., Cho, K., and Bengio, Y. (2015). Neural machine translation by jointly learning to align and translate. In ICLR'2015, *arXiv:1409.0473* .

# 具有外显记忆的神经网络

- 记忆网络
- 神经网络图灵机 (NTM)

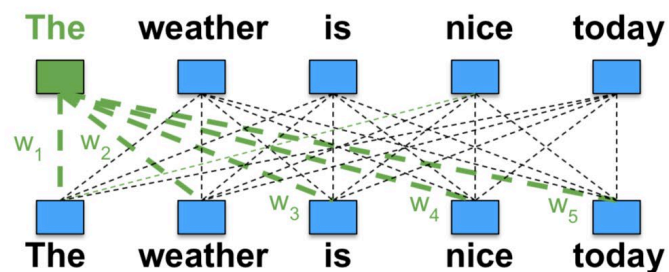


# 具有外显记忆的神经网络

- 记忆单元的写入和读取：
  - 避免整数寻址
  - 以概率形式同时从多个记忆单元写入或读取
    - 读取时，采取许多单元的加权平均值
    - 写入时，同时修改多个单元
- 使用向量值的记忆单元
  - 基于内容的寻址(content-based addressing)  
检索一首副歌歌词中带有‘We all live in a yellow submarine’的歌



# 自注意力示例



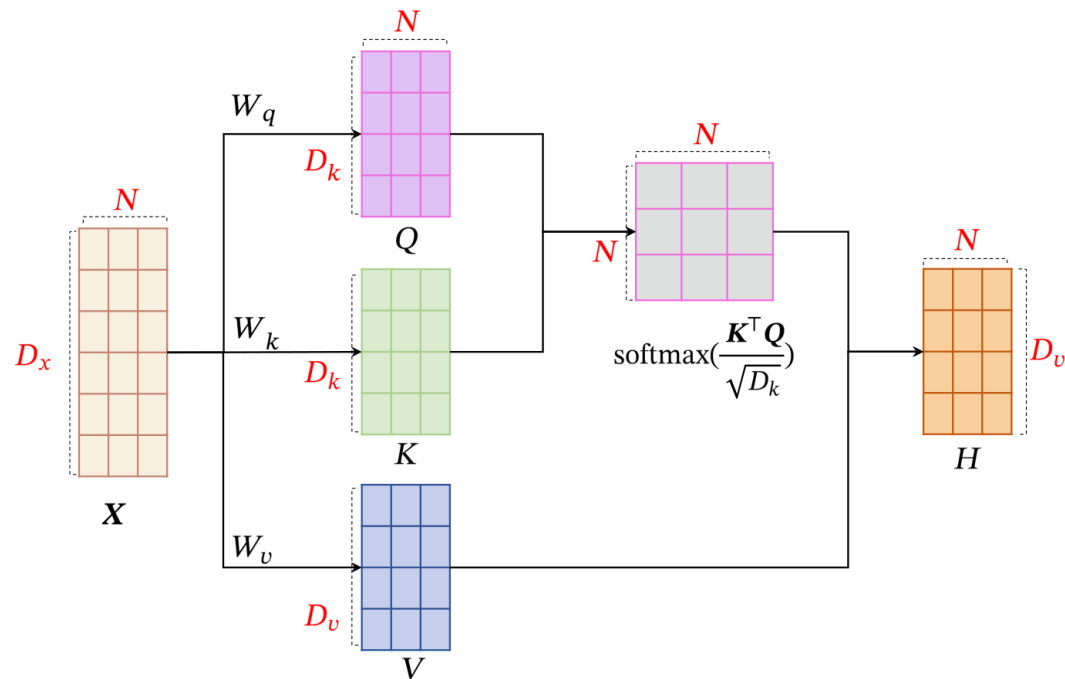
$$w_1, w_2, w_3, w_4, w_5 = \text{softmax} \left( \begin{bmatrix} 0.6 & 0.2 & 0.8 \end{bmatrix} \times \begin{bmatrix} 0.6 & 0.2 & 0.9 & 0.4 & 0.4 \\ 0.2 & 0.3 & 0.1 & 0.1 & 0.1 \\ 0.8 & 0.1 & 0.8 & 0.4 & 0.6 \end{bmatrix} \right)$$

The      The   weather   is   nice   today

$$\begin{bmatrix} 1.8 \\ 2.3 \\ 0.4 \end{bmatrix} = w_1 \times \begin{bmatrix} 0.6 \\ 0.2 \\ 0.8 \end{bmatrix} + w_2 \times \begin{bmatrix} 0.2 \\ 0.3 \\ 0.1 \end{bmatrix} + w_3 \times \begin{bmatrix} 0.9 \\ 0.1 \\ 0.8 \end{bmatrix} + w_4 \times \begin{bmatrix} 0.4 \\ 0.1 \\ 0.4 \end{bmatrix} + w_5 \times \begin{bmatrix} 0.4 \\ 0.1 \\ 0.6 \end{bmatrix}$$

The      The      weather      is      nice      today

# QKV模式 (Query-Key-Value)



# 自注意力模型

- 输入序列为  $X = [\mathbf{x}_1, \dots, \mathbf{x}_N] \in \mathbb{R}^{D_x \times N}$
- 首先生成三个向量序列

$$Q = W_q X \in \mathbb{R}^{D_k \times N},$$

$$K = W_k X \in \mathbb{R}^{D_k \times N},$$

$$V = W_v X \in \mathbb{R}^{D_v \times N},$$

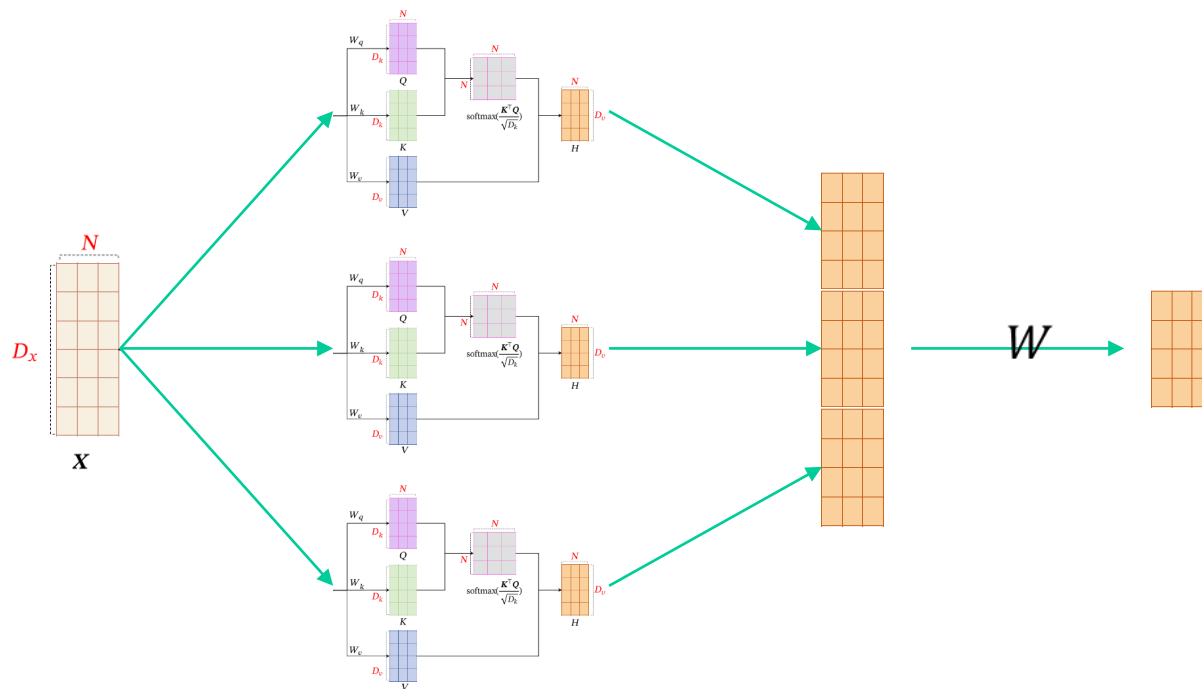
- 计算  $\mathbf{h}_n$

$$\mathbf{h}_n = \text{att}((K, V), \mathbf{q}_n)$$

- 如果使用缩放点积来作为注意力打分函数，输出向量序列可以简写为

$$H = V \text{softmax}\left(\frac{K^\top Q}{\sqrt{D_k}}\right),$$

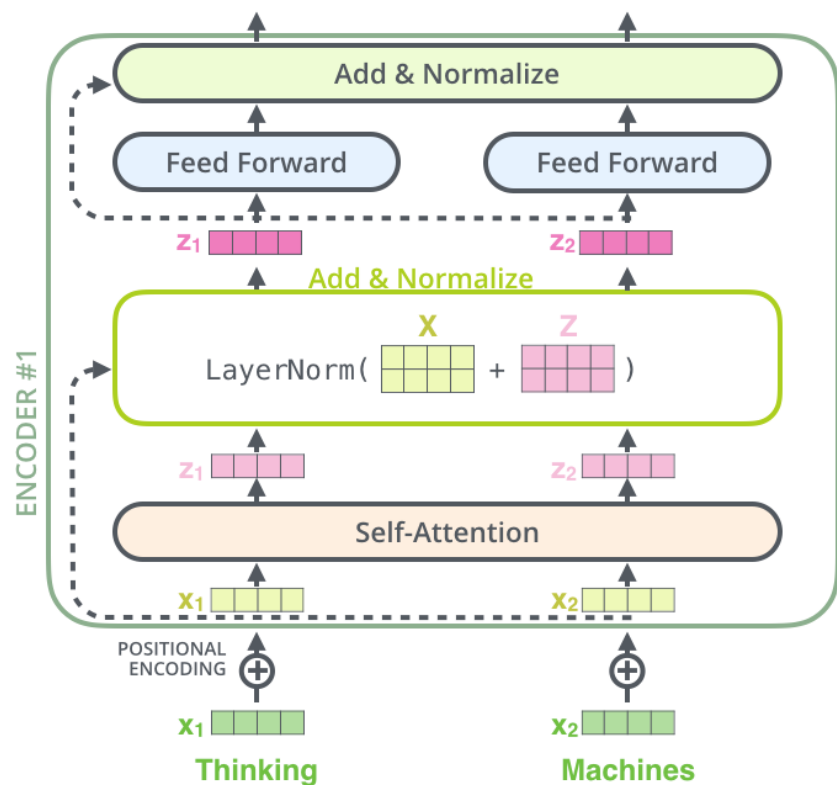
# 多头（multi-head）自注意力模型



# Transformer Encoder

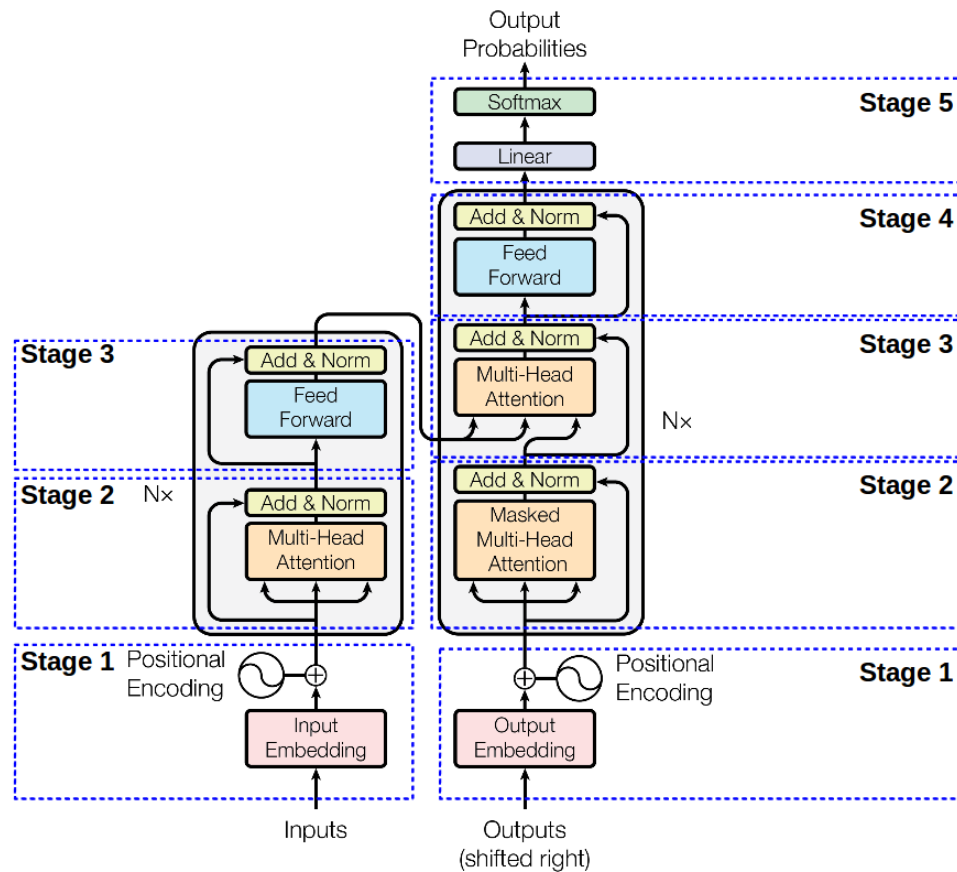
- 仅仅自注意力还不够
- 其它操作
  - 位置编码
  - 层归一化
  - 直连边
  - 逐位的FNN

图片来源: <http://jalammr.github.io/illustrated-transformer/>



# Transformer

<https://mchromiak.github.io/articles/2017/Sep/12/Transformer-Attention-is-all-you-need/#.W90QB5Mzabg>

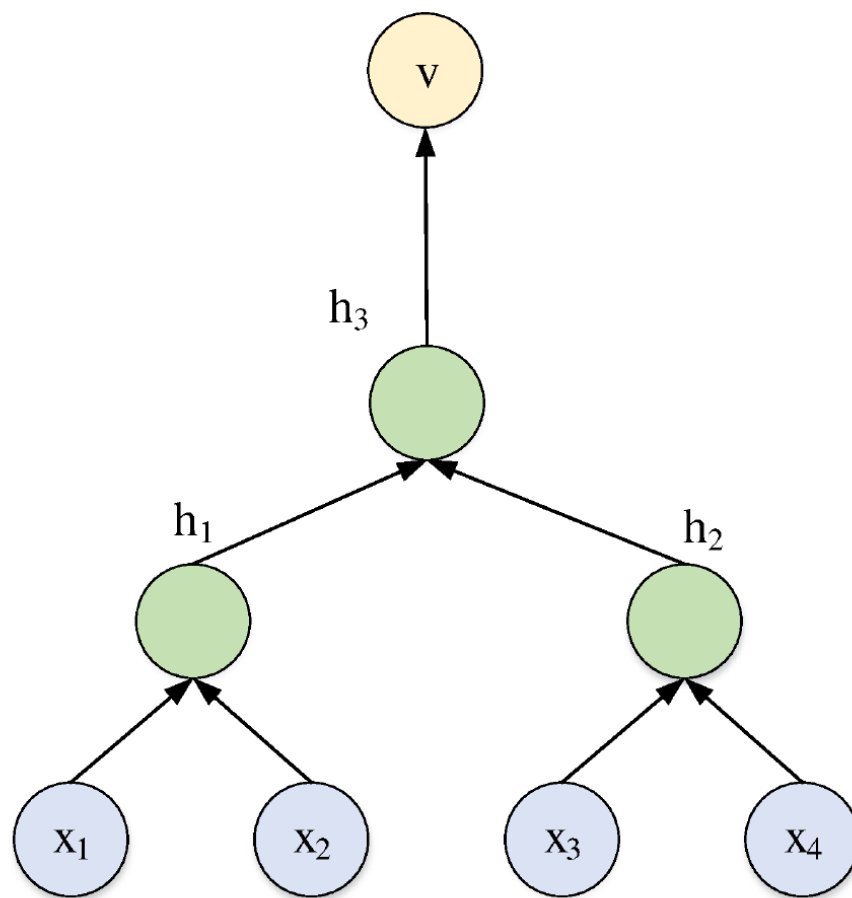


# 序列建模

- 循环神经网络
- 递归神经网络
- 记忆网络
- 图神经网络

# 递归神经网络

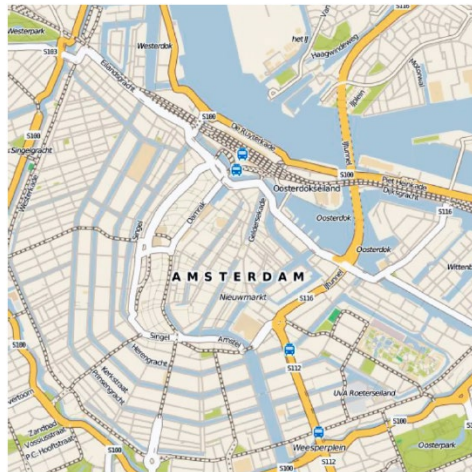
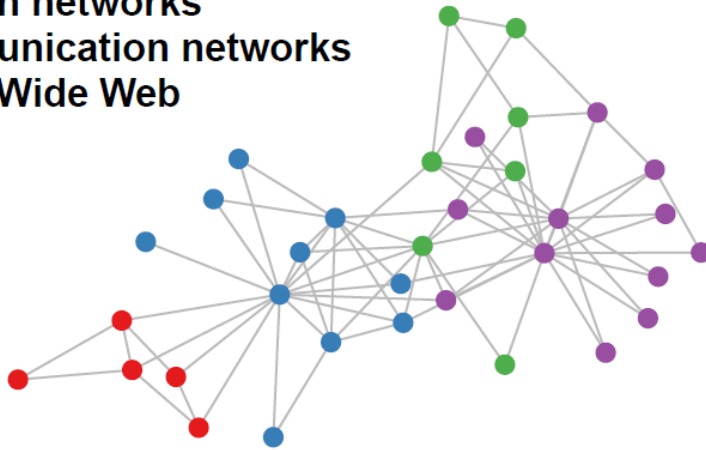
- 当输入数据为更为复杂的结构化数据
- 节点分类
- 关系预测



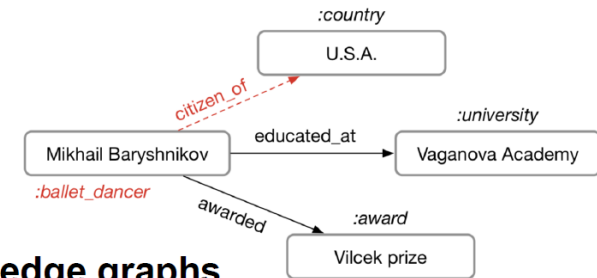


# 图数据

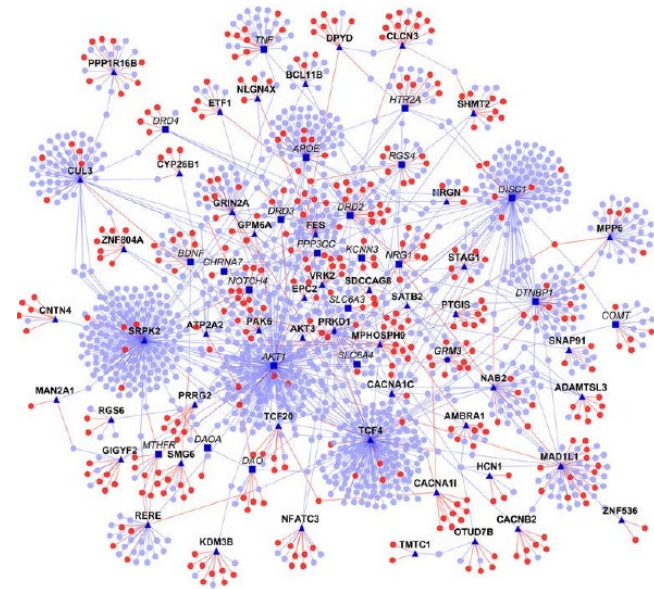
Social networks  
Citation networks  
Communication networks  
World Wide Web



Road maps

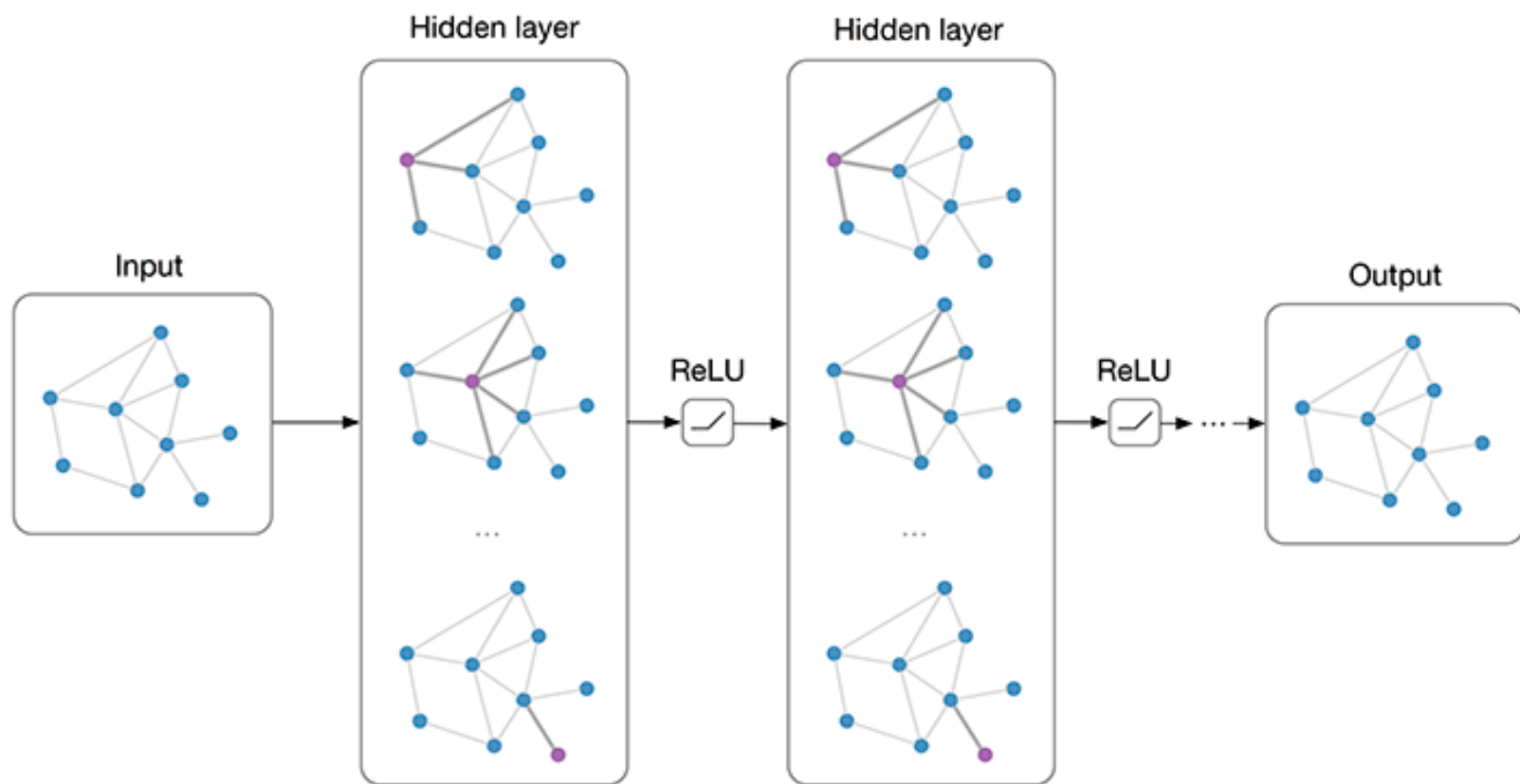


Knowledge graphs



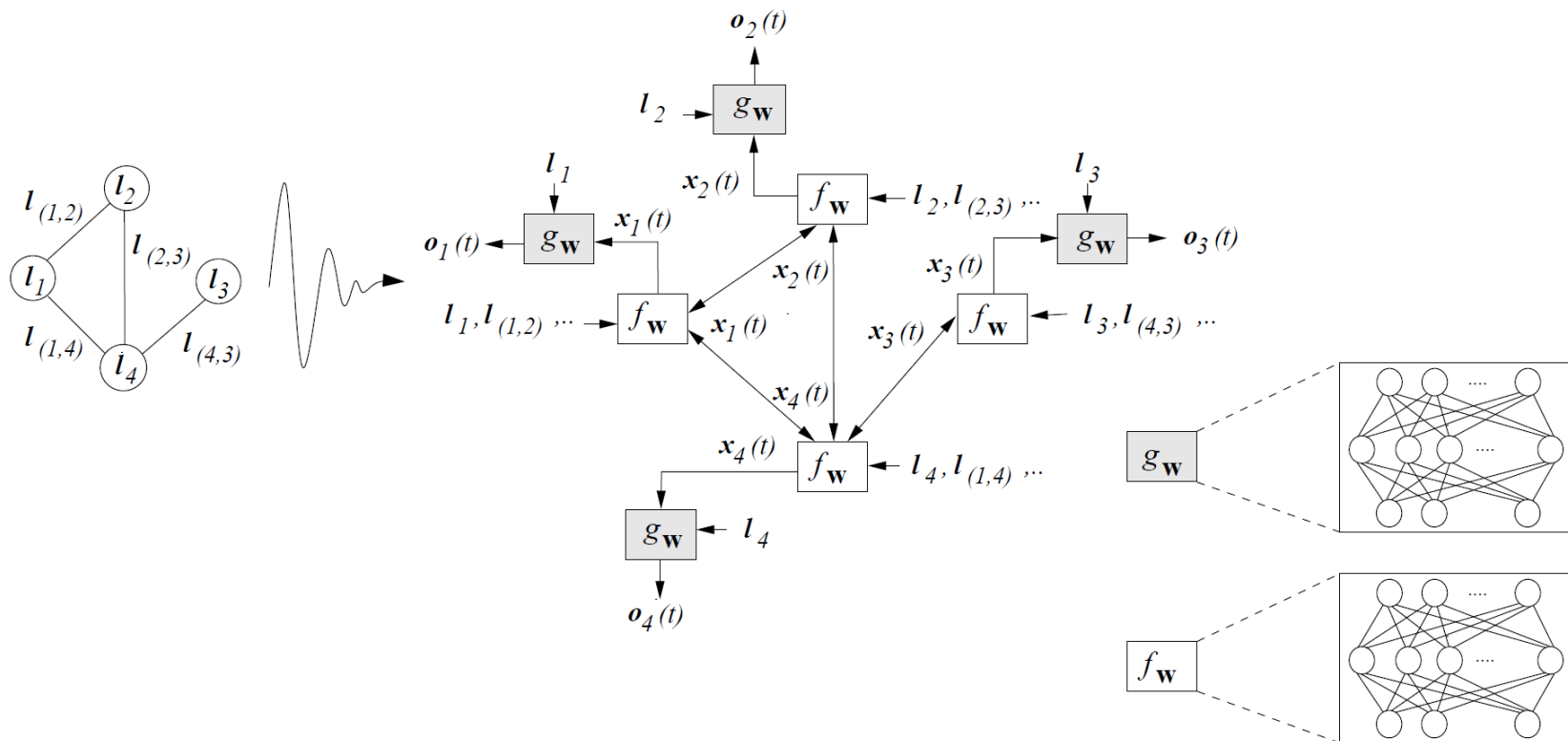
Protein interaction networks

# 图神经网络



T. N. Kipf, M. Welling, Semi-Supervised Classification with Graph Convolutional Networks (ICLR 2017)

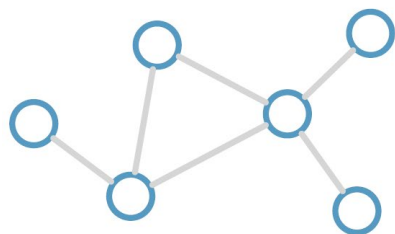
# 图神经网络



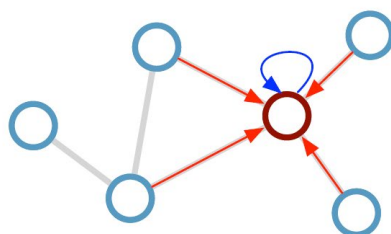
S. Franco, M. Gori, T. Ah Chung, H. Markus, and M. Gabriele, "The graph neural network model," *IEEE Transactions on Neural Networks*, vol. 20, no. 1, p. 61, 2009.

# 图神经网络

图



节点



局限性:

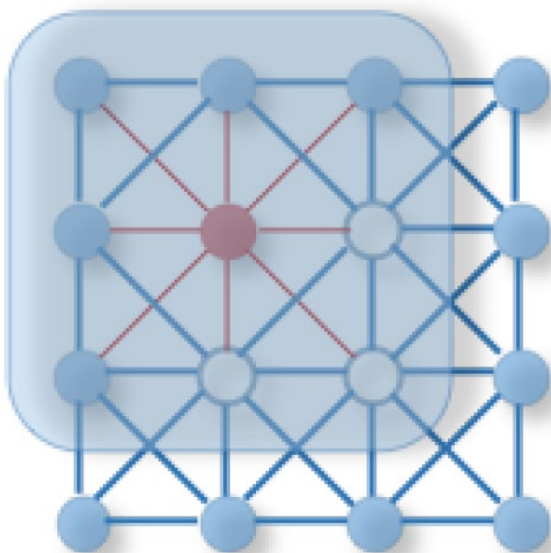
1. 参数不能共享
2. 局部 -> 全局

- 计算公式

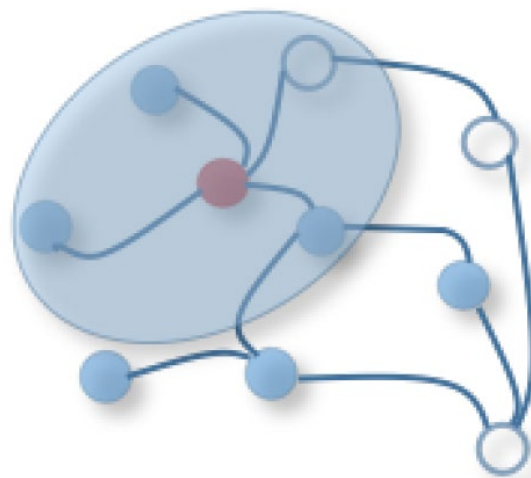
$$\mathbf{h}'_i = \sigma \left( \mathbf{W}_0 \mathbf{h}_i + \sum_{j \in \mathcal{N}_i} \alpha_{ij} \mathbf{W}_1 \mathbf{h}_j \right)$$

# 图神经网络

- 图卷积



2D卷积



图卷积

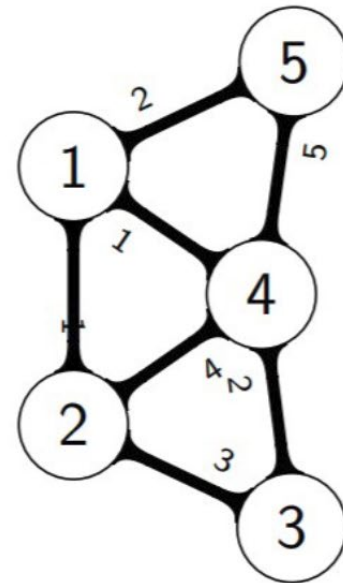
# Graph Laplacian Matrix

**A** adjacency matrix  
**W** weight matrix  
**D** (diagonal) degree matrix  
**L = D - W** graph **Laplacian** matrix

$$\mathbf{L} = \begin{pmatrix} 4 & -1 & 0 & -1 & -2 \\ -1 & 8 & -3 & -4 & 0 \\ 0 & -3 & 5 & -2 & 0 \\ -1 & -4 & -2 & 12 & -5 \\ -2 & 0 & 0 & -5 & 7 \end{pmatrix}$$

$$D_{ii} = \sum_j (A_{i,j})$$

$$\mathbf{L} = \mathbf{I}_n - \mathbf{D}^{-\frac{1}{2}} \mathbf{A} \mathbf{D}^{-\frac{1}{2}}$$



# 卷积 -> 图卷积

- 卷积

- $\mathbf{w} * \mathbf{x} = \text{IFFT}(\text{FFT}(\mathbf{w}) \bullet \text{FFT}(\mathbf{x}))$

$$\begin{bmatrix} a & b & c & d \\ b & c & d & e \\ c & d & e & f \\ d & e & f & g \end{bmatrix}$$

周期信号  
循环矩阵

- 图卷积

- 奇异值分解  $\mathbf{L} = \mathbf{U}\mathbf{\Lambda}\mathbf{U}^T$

$$\mathcal{F}(\mathbf{x}) = \mathbf{U}^T \quad \mathcal{F}^{-1}(\hat{\mathbf{x}}) = \mathbf{U}\hat{\mathbf{x}}$$

- 滤波器  $\mathbf{g} \in \mathbf{R}^N \quad \mathbf{g}_\theta = \text{diag}(\mathbf{U}^T \mathbf{g})$

- 图卷积  $\mathbf{x} *_G \mathbf{g}_\theta = \mathbf{U}\mathbf{g}_\theta\mathbf{U}^T \mathbf{x}$

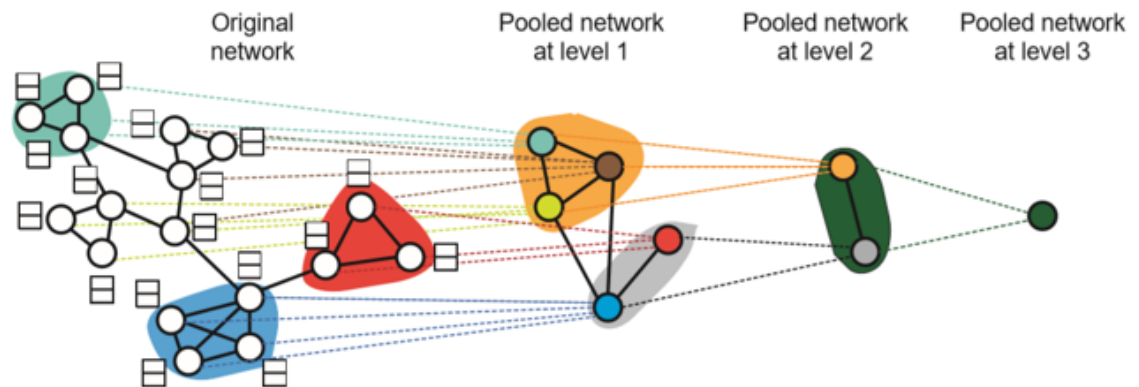
# Graph Pooling

- Mean、Max、Sum

$$\mathbf{h}_G = \text{mean/max/sum}(\mathbf{h}_1^T, \mathbf{h}_2^T, \dots, \mathbf{h}_n^T)$$

- SortPooling

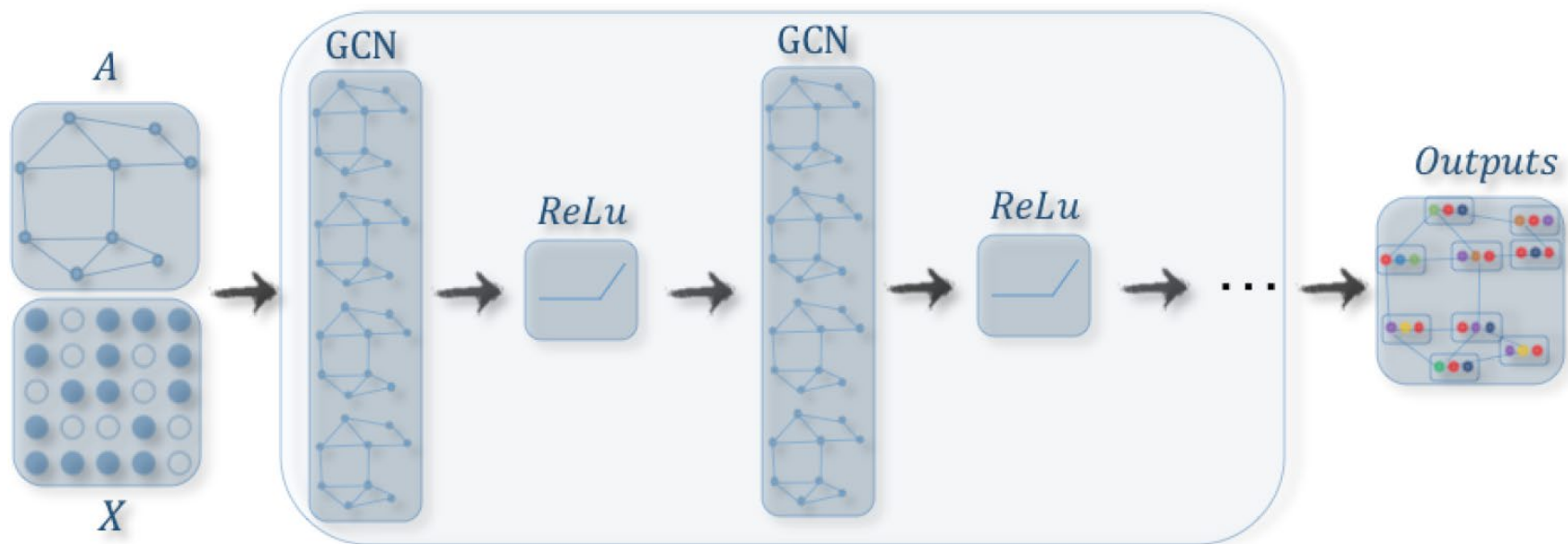
- DIFFPOOL





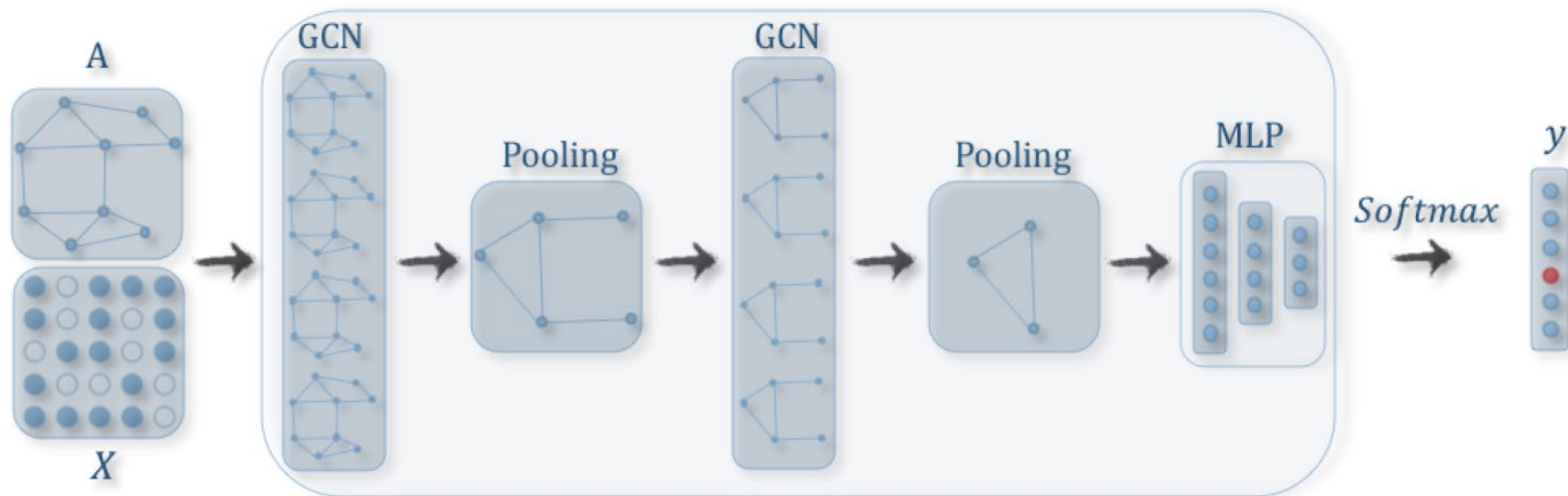
# 典型图卷积网络

- 节点分类



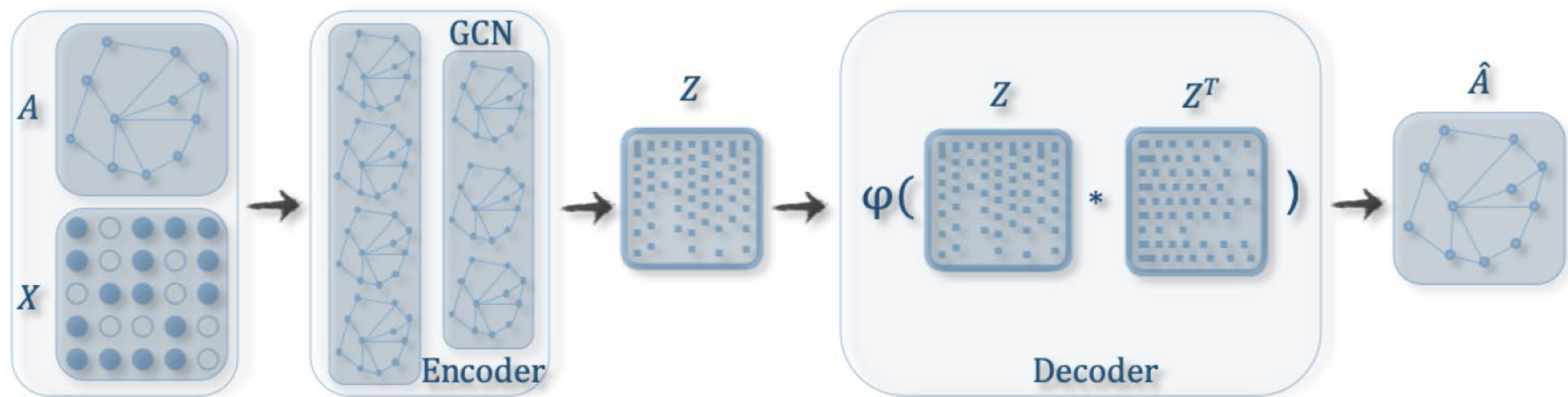
# 典型图卷积网络

- 图分类



# 典型图卷积网络

- 自编码网络



# 图卷积网络

- 其它进展
  - 图时空网络（Graph Spatial-Temporal Networks）
  - 图注意力机制
  - 图生成和对抗网络
  - ...